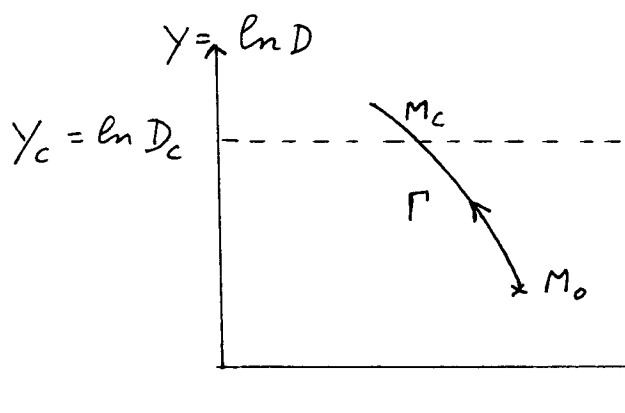


① Choix de nouvelles variables : $X = \ln N$ $Y = \ln D$



N : Nombre de particules
 D : Densité dans l'espace des phases

Fig. 1

- Problème considéré

Trouver la trajectoire Γ parcourue par le point représentatif du système dans le plan $X = \ln N$, $Y = \ln D$. Quelle est sa forme ? A quelle vitesse va-t-elle parcourir ? Coupe-t-elle l'horizontale $Y_c = \ln D_c$ associée au seuil de condensation de Bose-Einstein ?

- Intérêt d'une telle représentation

Permet de discuter commodément le problème de l'optimisation. En général, on cherche à atteindre le seuil de condensation en perdant le moins possible d'atomes. La trajectoire optimale Γ est donc celle qui, partant du point initial M_0 ($D_0 = 1$, $N_0 = 1$ avec les unités choisies), coupe l'horizontale $Y_c = \ln D_c$ au point M_c d'abscisse la plus élevée.

② Équations du mouvement de $X = \ln N$, $Y = \ln D$

$$\begin{aligned} - & \left\{ \begin{array}{l} D \propto n v^{-3} \\ N \propto n V_e \propto n T^\delta \propto n v^{2\delta} \end{array} \right. & (10.1a) \\ & (10.1b) \end{aligned}$$

$$\begin{aligned} - & \left\{ \begin{array}{l} \dot{X} = \frac{\dot{N}}{N} = \frac{\dot{n}}{n} + 2\delta \frac{\dot{v}}{v} \\ \dot{Y} = \frac{\dot{D}}{D} = \frac{\dot{n}}{n} - 3 \frac{\dot{v}}{v} \end{array} \right. & (10.2a) \\ & (10.2b) \end{aligned}$$

- D'après les équations (8.55)

$$\begin{aligned} & \left\{ \begin{array}{l} \frac{\dot{n}}{n} = A n v - r \\ \frac{\dot{v}}{v} = -B n v \end{array} \right. & (10.3a) \\ & (10.3b) \end{aligned}$$

- On en déduit

$$\begin{aligned} & \left\{ \begin{array}{l} \dot{X} = - (2\delta B - A) n v - r \\ \dot{Y} = (A + 3B) n v - r \end{array} \right. & (10.4a) \\ & (10.4b) \end{aligned}$$

Il suffit alors de reporter l'expression (8.64) de $n v$ dans (10.4) pour obtenir explicitement \dot{X} et \dot{Y} en fonction de t . On pourra

aussi utiliser directement les expressions (9.5) et (9.7) de N et D . Mais nous allons voir que, pour discuter la forme de la trajectoire Γ de la figure 1, il est plus commode de partir de (10.4)

- On peut éliminer nv entre les 2 équations (10.4). Il suffit d'ajouter ces 2 équations, la première multipliée par $(A+3B)$, la deuxième multipliée par $(2\delta B - A)$. On obtient ainsi

$$\ddot{y} = -\gamma \dot{x} - \frac{2\delta + 3}{2\delta - \beta} r \quad (10.5)$$

où le coefficient γ est défini par

$$\gamma = \frac{A+3B}{-A+2\delta B} = \frac{\beta+3}{2\delta-\beta} \quad (10.6)$$

On a utilisé la définition (8.50) de β : $\beta = A/B$. D'après la même équation, $\beta = 2\delta - \frac{2}{x}$, ce qui donne

$$\gamma = (\delta + \frac{3}{2}) \tilde{x} - 1 \quad (10.7)$$

Comme \tilde{x} (voir Fig. D2, page IX-7), γ est donc une fonction croissante de η .

③ Etude du cas $r=0$

- Si l'on fait $r=0$ dans (10.5), on obtient par intégration

$$Y = -\gamma X \quad (10.8)$$

La trajectoire Γ est donc une droite de pente $-\gamma$. Pour que l'abscisse de son intersection avec l'horizontale Y_c soit la plus grande possible, on a intérêt à prendre γ , et donc η , le plus grand possible.

- L'équation (10.8) ne renseigne pas sur la vitesse à laquelle la trajectoire Γ est parcourue. Il faut pour cela revenir aux équations (10.4) et utiliser les résultats du cours VIII sur nv .

(i) Au seuil d'emballement, quand $A=B$ (ou $\beta=1$), on a $nv=1+t$. Le point représentatif parcourt la droite (10.8) avec une vitesse constante.

En faisant $\beta=1$ dans (10.6), on obtient

$$\beta=1 \rightarrow \gamma = \frac{4}{2\delta-1} \quad (10.9)$$

ce qui donne $\gamma=2$ pour un point harmonique ($\delta=3/2$)

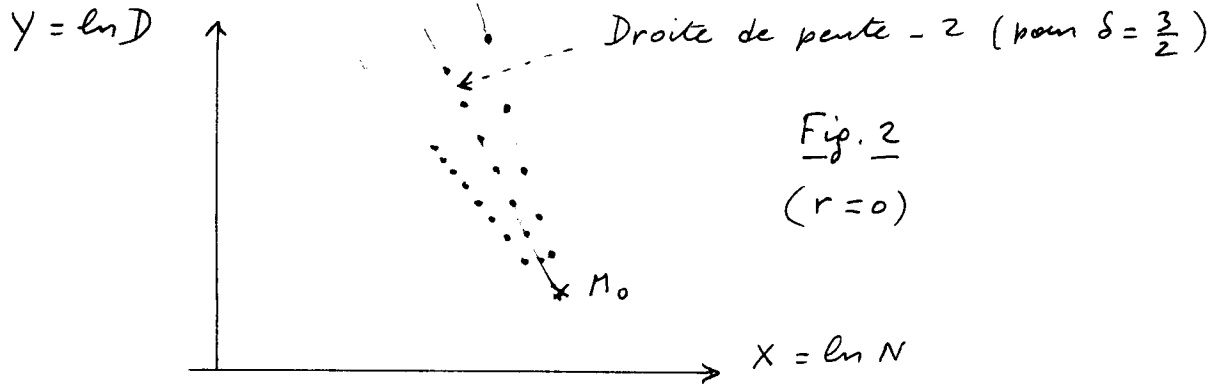
(ii) Au-dessus du seuil, quand $A>B$ (ou $\beta>1$), nv croît avec t . Le mouvement du point représentatif sur la droite (10.8), qui a alors une pente supérieure à 2, est accéléré.

(iii) Au-dessous du seuil, quand $A<B$ (ou $\beta<1$), nv décroît avec t et le mouvement du point est retardé.

- Un moyen commode de représenter la liste de déplacement du point est de représenter la position du point à des instants régulièrement espacés. On obtient pour $\beta=1$ une série de points régulièrement

(X-3)

espaces. Pour $\beta > 1$, l'intervalle entre 2 points successifs croît, alors que pour $\beta < 1$, il décroît (Fig. 2)



④ Allure de la trajectoire Γ pour $r \neq 0$

- Plaçons nous tout d'abord au seuil d'emballlement qui, d'après le cours VIII, apparaît pour $A-B=r$, $n\nu$ restant alors égal à 1 quel que soit t . En remplaçant dans (10.4) $n\nu$ par 1 et r par $A-B$, on obtient

$$\begin{cases} \dot{x} = (1-2\delta)B \\ \dot{y} = 4B \end{cases} \quad (10.10)$$

On obtient pour Γ une droite de pente $-\gamma$, où $\gamma = \frac{4}{2\delta-1}$ a la même valeur que pour $r=0$ et $A-B=0$ [voir Eq.(10.9)]. Cette droite, de pente -2 si $\delta=3/2$, est parcourue à vitesse constante

- Si on est au-dessus du seuil d'emballlement ($A-B > r$), $n\nu$ croît avec t et la trajectoire Γ n'est plus une droite. La tangente en un point de cette trajectoire a une pente égale à

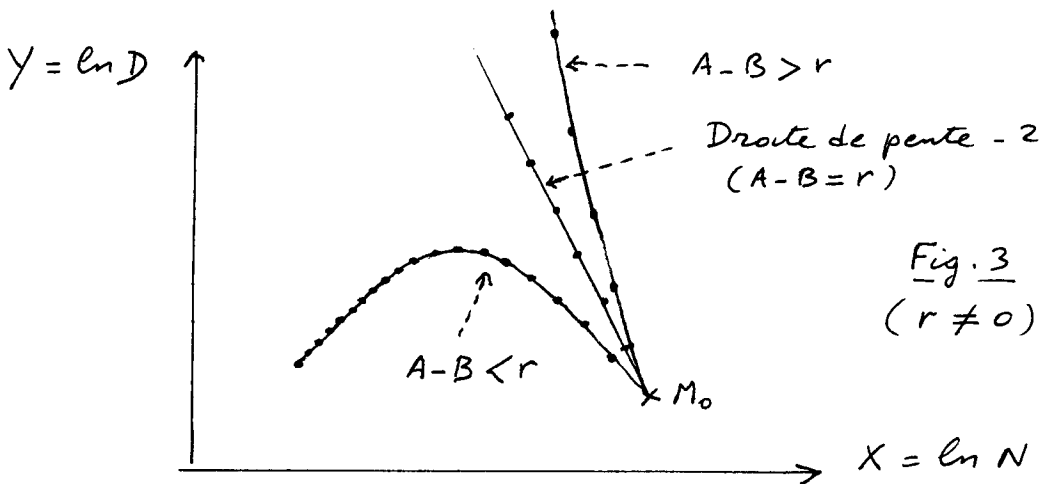
$$-\frac{(A+3B)n\nu - r}{(2\delta B - A)n\nu + r} \quad (10.11)$$

dont le module croît de $\frac{A+3B-r}{2\delta B-A+r}$ à $\frac{A+3B}{2\delta B-A}$ quand

$n\nu$ croît de 1 à $+\infty$. Le point représentatif parcourt cette trajectoire avec un mouvement accéléré

- Si enfin on est en dessous du seuil d'emballlement ($A-B < r$), $n\nu$ décroît de 1 à 0. On voit sur (10.4b) que \dot{y} s'annule pour une certaine valeur de $n\nu$, alors que \dot{x} est toujours négatif. La trajectoire Γ va donc présenter un maximum. Quand $t \rightarrow \infty$, $n\nu \rightarrow 0$ et \dot{x} et \dot{y} tendent tous 2 vers $-r$. La trajectoire Γ tend alors vers une droite de pente 1 parcourue à vitesse constante

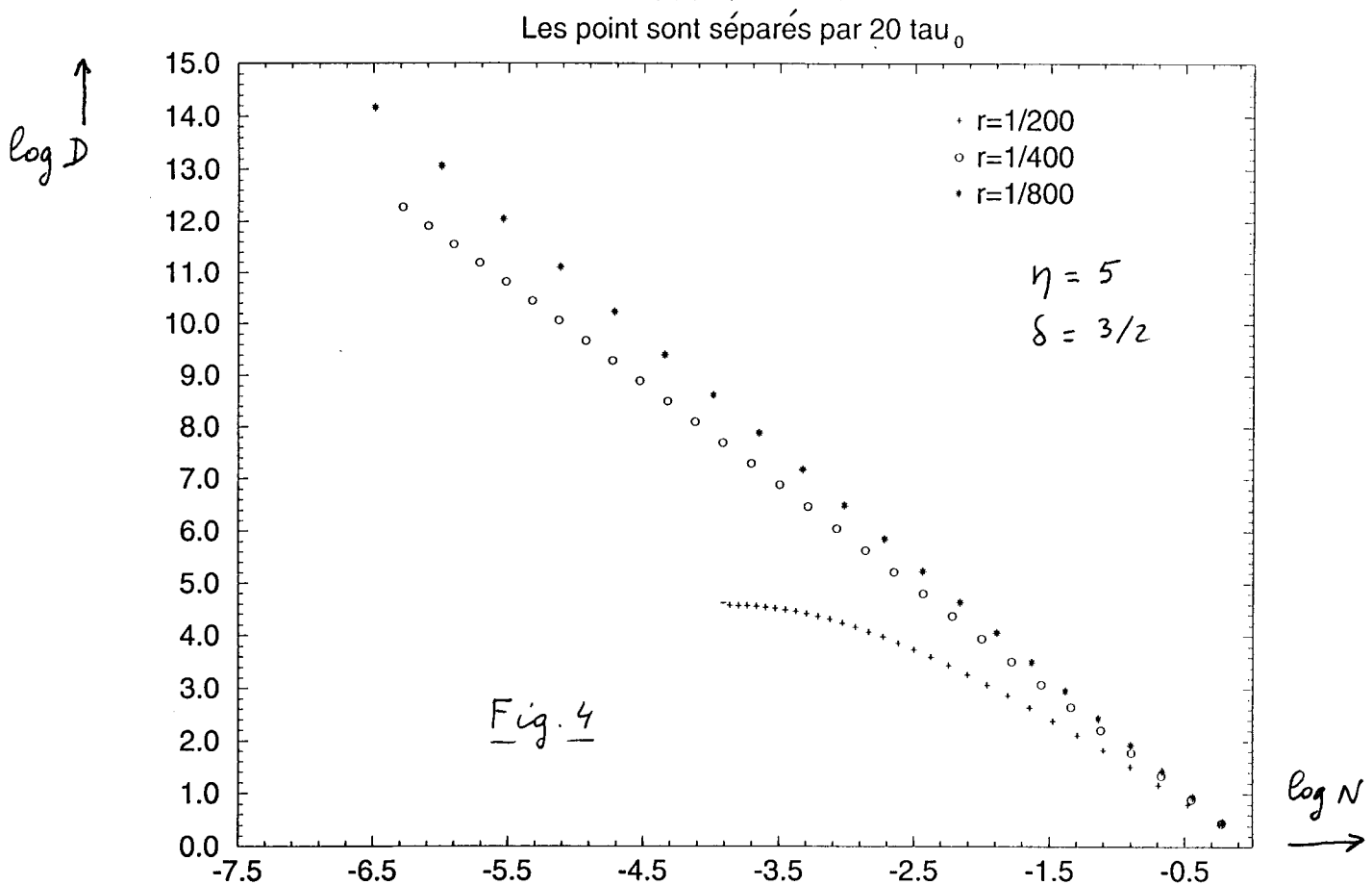
- Tous ces résultats sont résumés sur la figure 3 où, comme sur la figure 2, on représente le point représentatif du système à des instants régulièrement espacés, pour $A-B=r$, $A-B>r$ et $A-B < r$



- Tous ces résultats, déduits des équations (10.4) sont confirmés par un calcul direct utilisant les expressions explicites (9.8) et (9.10) de N et D . les courbes des figures 4 et 5, obtenues par D. Guénin - Odelin, représentent les points de coordonnées $\log N$, $\log D$ (logarithmes de base 10 et non logarithmes népériens), pour des valeurs de t régulièrement espacées de $20\tau_0$ où $\tau_0 = 1/\rho_{el}(t=0) = 1/n_0 \sigma v_0$.

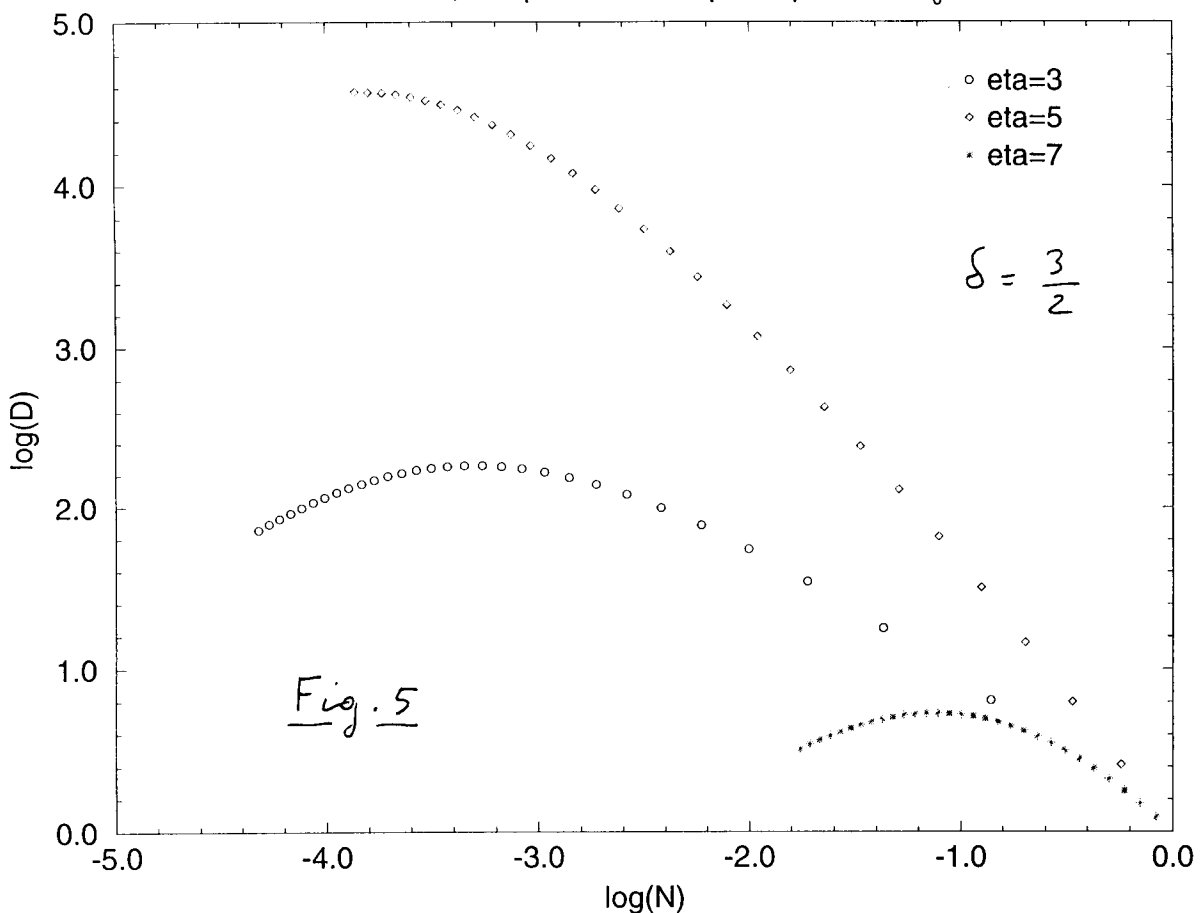
La figure 4 représente les trajectoires Γ correspondant à $\eta = 5$ et $r = 1/200$, $r = 1/400$, $r = 1/800$. D'après la figure 2, page VIII-8, pour $\eta = 5$, $r = 1/400$ correspond à peu près au seuil d'emballement, $r = 1/200$ étant au dessous de ce seuil et $r = 1/800$ au dessus.

La figure 5 correspond à $r = 1/200$ et à $\eta = 3, 5, 7$. Dans les 3 cas, on est au dessous du seuil. On voit que $\eta = 5$ est plus favorable que $\eta = 3$ et $\eta = 7$.



$r=1/200$; les points sont séparés par $20 \tau_0$

X-5



⑤ Discussion physique

5.1 Pente à l'origine de la courbe Γ

- Le module γ_0 de la pente à l'origine des trajectoires Γ est obtenu en faisant $n\nu=1$ dans les équations (10.4) :

$$\gamma_0 = \left| \frac{A + 3B - r}{-(2\delta B - A) - r} \right| \quad (10.12)$$

Prenons un point harmonique : $\delta = 3/2$. Il vient

$$\gamma_0 = \frac{A + 3B - r}{3B - A + r} = \frac{4B + A - B - r}{2B - (A - B - r)} = \frac{2 + u}{1 - u} \quad (10.13)$$

avec

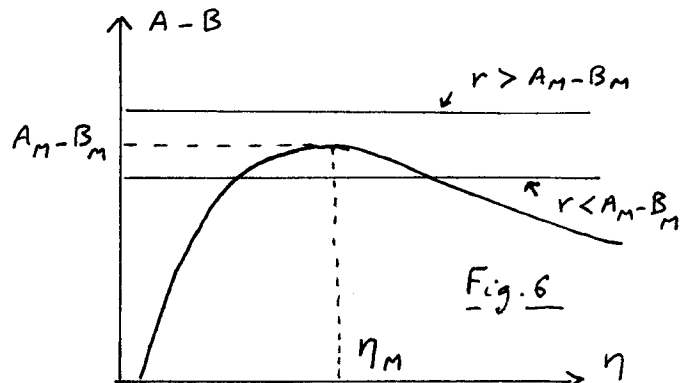
$$u = \frac{A - B - r}{2B} \quad (10.14)$$

- Au dessus ^{d'emballement} ~~du seuil~~, $A - B > r$ et u est positif.

La valeur la plus grande de γ_0 est obtenue en maximisant u

La figure 6, analogue à la figure 2 du cours VIII (p. VIII-9) donne les variations de $A - B$ avec η .

Soit η_M (de l'ordre de 5.8), la valeur de η pour laquelle $A - B$ atteint sa valeur maximale, $A_M - B_M$ (de l'ordre de 0.0033).



Au dessus du seuil, $A-B > r$, et la valeur maximale de $A-B-r$ est réalisée pour $\eta = \eta_M$ et vaut $A_M - B_M - r$. Comme B est une fonction décroissante de η au voisinage de $\eta = \eta_M$ (voir Fig. D5 du cours IX, p. IX-3), le maximum de u donné par (10.14) est réalisé pour une valeur de η légèrement supérieure à η_M

- Au dessus du seuil, $A-B < r$, et u est négatif.

Le maximum de δ_0 est réalisé pour le minimum de $|u|$. Or, $|A-B-r|$ est minimum en $\eta = \eta_M$. Comme le dénominateur, B , de $|u|$ est une fonction décroissante de η au voisinage de η_M , le maximum de $|u|$ est réalisé pour une valeur de η légèrement inférieure à η_M

- En conclusion, la discussion précédente montre l'importance de la courbe donnant $A-B$ en fonction de η , et l'importance de la valeur η_M de η correspondant au maximum de $A-B$. Pour avoir, au voisinage de l'origine, la courbe la plus raide possible, de manière à couper l'horizontale $\log D_c$ au point d'abscisse la plus élevée possible, on a intérêt à prendre η voisin de η_M , légèrement au dessus pour $A-B > r$, légèrement au dessous pour $A-B < r$.

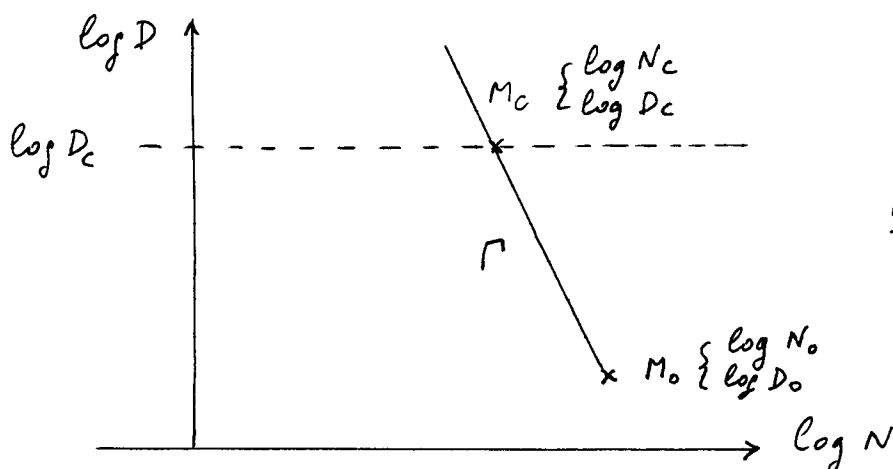


Fig. 7

Au seuil d'emballlement, et pour $\delta = 3/2$, r se réduit à une droite de pente -2, qui coupe l'horizontale $\log D_c$ correspondant au seuil de la condensation de Bose-Einstein au point N_0 de coordonnées $\log N_c$, $\log D_c$ (voir Fig. 7). On a donc

$$\log D_c - \log D_0 = -2 [\log N_c - \log N_0] \quad (10.15)$$

c'est à dire

$$\frac{N_c}{N_0} = \left(\frac{D_0}{D_c} \right)^{1/2} \quad (10.16)$$

- Au dessous du seuil d'emballlement, et même si on atteint le seuil de condensation, on ne pourra jamais avoir, au moment où l'on atteint BEC, un nombre d'atomes supérieur à N_c où N_c est donné par (10.16). Si on part à 6 ordres de grandeurs au dessous du seuil de BEC, on perdra au moins 3 ordres de grandeurs sur N si l'on atteint ce seuil.

5.2 Vitesse initiale le long de la trajectoire Γ

X-7

- Il ne suffit pas que la pente initiale le long de Γ soit la plus élevée possible pour que la trajectoire Γ coupe l'horizontale $\log D_C$ au point d'abscisse la plus élevée possible. Il faut aussi que la vitesse initiale du point représentatif le long de cette trajectoire soit la plus élevée possible.
- L'équation (8.64) donnant $n v$ montre que, au voisinage de $t=0$, on peut écrire

$$n v = \frac{e^{-rt}}{1 - (1 - e^{-rt}) \frac{A-B}{r}} \underset{t \rightarrow 0}{\approx} 1 + t(A-B-r) + \dots \quad (10.17)$$

- (i) Au-dessus du seuil d'emballlement, $A-B > r$ et $n v$ croît à partir de 1 avec une vitesse initiale, $A-B-r$, d'autant plus élevée que $A-B-r$ est plus grand. C'est donc pour $\eta \approx \eta_M$ que $n v$ croît le plus vite avec t et que, par suite, d'après (10.4), le point représentatif se déplacera le plus vite le long de Γ .
- (ii) Au-dessous du seuil d'emballlement, $A-B < r$, et $n v$ décroît à partir de 1 avec une vitesse d'autant plus faible que $|A-B-r|$ est plus petit. Là encore, c'est au voisinage de $\eta = \eta_M$ que le mouvement du point représentatif le long de Γ se ralentira le moins.
- En conclusion, la condition $\eta \approx \eta_M$ est donc favorable, aussi bien pour la pente initiale de Γ que pour la vitesse initiale de déplacement le long de Γ .

5.3 Courbe des maxima en dessous du seuil d'emballlement

- En dessous du seuil d'emballlement, les trajectoires Γ présentent un maximum. Nous allons montrer que, pour chaque valeur de r , on peut trouver l'équation de la courbe donnant le lien de tous les maxima correspondant aux diverses valeurs de η .
- Le maximum de Γ est atteint quand $dY/dt = 0$, c'est à dire, d'après (10.4b), quand

$$n v = \frac{r}{A + 3B} \quad (10.18)$$

Remplaçons $n v$ par cette valeur dans l'expression (8.64) de $n v$ [voir aussi la 1^{re} équation (8.17)]. On obtient une équation donnant la valeur de e^{-rt} quand le maximum de Γ est atteint

$$e^{-rt} = \frac{r - (A - B)}{4B} \quad (10.19)$$

Notons que, quand on s'approche du seuil d'emballlement, c.-à-d quand $r - (A - B) \rightarrow 0$, $e^{-rt} \rightarrow 0$, ce qui veut dire que $t \rightarrow \infty$. Le point représentatif monte alors de plus en plus haut, et Γ n'a plus de maximum.

- Pour obtenir les coordonnées du maximum, utilisons l'autre équation (8.58) reliant n et v : $n v^B = e^{-rt}$. En remplaçant e^{-rt} par sa valeur (10.18), on obtient

X-8

$$nv^\beta = \frac{r - (A - B)}{4B} \quad (10.20)$$

A partir de (10.18) et (10.20), on peut alors obtenir les valeurs de n et v correspondant au maximum de P et, par suite, les coordonnées $D = nv^{-3}$ et $N = nv^{2\beta}$ de ce maximum. On trouve :

$$\left\{ \begin{array}{l} D = \frac{r}{A + 3B} \left[\frac{r}{r - (A - B)} \frac{4B}{A + 3B} \right]^{-\frac{4}{1-\beta}} \\ N = \frac{r}{A + 3B} \left[\frac{r}{r - (A - B)} \frac{4B}{A + 3B} \right]^{\frac{2\beta-1}{1-\beta}} \end{array} \right. \quad (10.21a)$$

$$\left\{ \begin{array}{l} D = \frac{r}{A + 3B} \left[\frac{r}{r - (A - B)} \frac{4B}{A + 3B} \right]^{-\frac{4}{1-\beta}} \\ N = \frac{r}{A + 3B} \left[\frac{r}{r - (A - B)} \frac{4B}{A + 3B} \right]^{\frac{2\beta-1}{1-\beta}} \end{array} \right. \quad (10.21b)$$

- Fixons r . Quand η varie, A, B et β varient et le point de coordonnées ($\log N$, $\log D$) décrit une courbe qui est le lieu des maxima des trajectoires Γ correspondant aux diverses valeurs possibles de η . Les courbes de la figure 8, obtenues par D. Guéry-Odelin à partir de équations (10.21), donnent de telles courbes pour 5 valeurs différentes de r . Chaque courbe est parcourue dans le sens inverse des aiguilles d'une montre quand η décroît. Les points les plus élevés sont obtenus pour les valeurs suivantes de η : $\eta = 3.32$ pour $r = 1/50$; $\eta = 4$ pour $r = 1/100$; $\eta = 4.58$ pour $r = 1/150$; $\eta = 5$ pour $r = 1/200$; $\eta = 5.4$ pour $r = 1/250$. Les valeurs optimales de η sont donc inférieures à $\eta_m \approx 5.8$ et se rapprochent d'autant plus de η_m que r est plus petit.

Courbe des maxima

$r=1/50, 1/100, 1/150, 1/200, 1/250$

